

# EMISIONES RADIADAS

W. G. Fano

Universidad de Buenos Aires, Facultad de Ingeniería.

*gfano@fi.uba.ar*



- Radiadores elementales de Campo. Dipolo elemental y lazo elemental (E y H)
- Zonas de campo en un elemento radiante
- Formulación de los campos cercano y lejano.
- Corrientes de modo diferencial y modo común.
- Separación en Modo Común y Modo diferencial de las corrientes.
- Modelo de emisiones radiadas
- Cálculo de Campos y corrientes CISPR22

# ECUACIÓN DE ONDA INHOMOGENEA

Considere la ec. de Maxwell:

$$\nabla \cdot \vec{B} = 0 \quad (1)$$

De aquí se puede definir el potencial vectorial magnético  $\vec{A}$

$$\vec{B} = \nabla \times \vec{A} \quad (2)$$

De tal manera que se verifica:

$$\nabla \cdot \nabla \times \vec{A} = 0 \quad (3)$$

Por lo tanto el campo magnético  $\vec{H}$  se puede calcular:

$$\vec{H} = \frac{1}{\mu} \nabla \times \vec{A} \quad (4)$$

Considerando la ecuación de Maxwell:

$$\nabla \times \vec{E} = \frac{-\partial \vec{B}}{\partial t} \quad (5)$$

Para variación armónica:

$$\nabla \times \vec{E} = -j\omega\mu\vec{H} \quad (6)$$

Reemplazando H:

$$\nabla \times \vec{E} = -j\omega\mu \left( \frac{1}{\mu} \nabla \times \vec{A} \right) \quad (7)$$

Agrupando:

$$\nabla \times \left( \vec{E} + j\omega\vec{A} \right) = 0 \quad (8)$$

# ECUACIÓN DE ONDA INHOMOGENEA

Haciendo

$$(\vec{E} + j\omega \vec{A}) = -\nabla\phi \quad (9)$$

Se verifica:

$$\nabla \times (-\nabla\phi) = 0 \quad (10)$$

Por lo tanto:

$$\boxed{\vec{E} = -\nabla\phi - j\omega \vec{A}} \quad (11)$$

donde  $\phi$  es el potencial escalar eléctrico

Tomando rotor de ec.4:

$$\mu \nabla \times \vec{H} = \nabla \times \nabla \times \nabla \cdot \vec{A} \quad (12)$$

Teniendo en cuenta la identidad:

$$\nabla \times \nabla \times \vec{A} = \nabla(\nabla \cdot \vec{A}) - \nabla^2 \vec{A} \quad (13)$$

Por lo tanto:

$$\mu \nabla \times \vec{H} = \nabla(\nabla \cdot \vec{A}) - \nabla^2 \vec{A} \quad (14)$$

Como

$$\nabla \times \vec{H} = \vec{J} + j\omega\epsilon \vec{E} \quad (15)$$

Resulta:

$$\mu \vec{J} + j\omega\mu\epsilon \vec{E} = \nabla(\nabla \cdot \vec{A}) - \nabla^2 \vec{A} \quad (16)$$

# ECUACIÓN DE ONDA INHOMOGENEA

Usando la ec. (16) y (11):

$$\mu \vec{J} + j\omega\mu\epsilon(-\nabla\phi - j\omega\vec{A}) = \nabla(\nabla \cdot \vec{A}) - \nabla^2\vec{A} \quad (17)$$

$$\mu \vec{J} - j\omega\mu\epsilon\nabla\phi + \mu\epsilon\omega^2\vec{A} = \nabla(\nabla \cdot \vec{A}) - \nabla^2\vec{A} \quad (18)$$

$$\nabla^2\vec{A} + \mu\epsilon\omega^2\vec{A} = -\mu\vec{J} + \nabla(\nabla \cdot \vec{A} + j\omega\mu\epsilon\phi) \quad (19)$$

Definiendo  $\nabla \cdot \vec{A}$  (condición de Lorentz):

$$\nabla \cdot \vec{A} + j\omega\mu\epsilon\phi = 0 \quad (20)$$

# ECUACIÓN DE ONDA INHOMOGENEA

Se obtiene:

$$\boxed{\nabla^2 \vec{A} + \mu\epsilon\omega^2 \vec{A} = -\mu \vec{J}} \quad (21)$$

Es la ecuación de onda inhomogénea de Helmholtz. Para resolver esta ecuación se considera por ejemplo:  $\vec{J} = J_z \hat{z}$  infinitesimal en el origen de coordenadas:

$$\nabla^2 A_z + \mu\epsilon\omega^2 A_z = -\mu J_z \quad (22)$$

Quitando la fuente, queda:

$$\nabla^2 A_z + \mu\epsilon\omega^2 A_z = 0 \quad (23)$$

La función  $A_z = A(r)$ . Haciendo  $\gamma^2 = -\mu\epsilon\omega^2$

$$\frac{dA_z(r)}{dr} + \frac{2}{r} \frac{dA_z(r)}{dr} - \gamma^2 A_z(r) = 0 \quad (24)$$

Cuyas soluciones son:

$$\begin{aligned} A_z(r) &= C_1 \frac{e^{-j\beta r}}{r} \\ A_z(r) &= C_2 \frac{e^{+j\beta r}}{r} \end{aligned} \quad (25)$$

Caso estático ( $\beta = 0$ ) con  $J_z \neq 0$ :

$$\nabla^2 A_z = -\mu J_z \quad (26)$$

Cuya solución es:

# ECUACIÓN DE ONDA INHOMOGENEA

$$A_z = \frac{\mu}{4\pi} \iiint_V \frac{J_z}{r} dv' \quad (27)$$

Si  $\beta \neq 0$

$$A_z = \frac{\mu}{4\pi} \iiint_V \frac{J_z e^{-j\beta r}}{r} dv' \quad (28)$$

Generalizando:

$$\vec{A} = \frac{\mu}{4\pi} \iiint_V \frac{\vec{J} e^{-j\beta r}}{r} dv' \quad (29)$$

Si la fuente se encuentra en un punto distinto del origen:  
( $x', y', z'$ )

$$\vec{A} = \frac{\mu}{4\pi} \iiint_V \frac{\vec{J} e^{-j\beta R}}{R} dv' \quad (30)$$

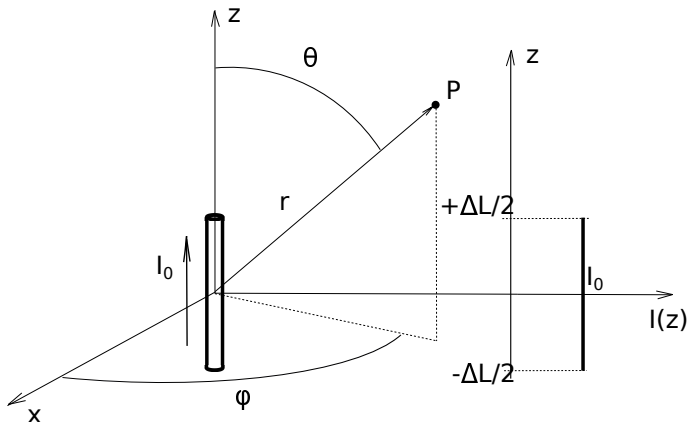
Para una intensidad de corriente en el eje  $z$   $I$

$$\vec{A} = \frac{\mu}{4\pi} \int_I \frac{\vec{I} e^{-j\beta R}}{R} dl' \quad (31)$$

Para el elemento de corriente o dipolo de Hertz en el origen de coordenadas:

$$\vec{I}(x', y', z') = I_0 \hat{z} \quad (32)$$

# DIPOLO DE HERTZ O ELEMENTO DE CORRIENTE



## Ideal Dipole Antenna

Conductor donde circula una corriente donde  $\Delta l \ll \lambda$ , antena electricamente corta, con el conductor es delgado  $a \ll \lambda$ . Por lo tanto  $I(z) = I_0 \hat{z}$



# DIPOLO DE HERTZ O ELEMENTO DE CORRIENTE

Como  $R \rightarrow r$  porque  $R \gg \Delta l$ , entonces:

$$\vec{A} = \frac{\mu}{4\pi} \int_I \frac{\vec{I} e^{-j\beta r}}{r} dl' = \frac{\mu}{4\pi} \frac{\vec{I} e^{-j\beta r}}{r} \int_{-\Delta L/2}^{\Delta L/2} dl' \quad (33)$$

Resulta:

$$\boxed{\vec{A} = \frac{\mu}{4\pi} \frac{\vec{I} e^{-j\beta r}}{r} \Delta L} \quad (34)$$

En coordenadas esféricas:

$$\begin{aligned} A_r &= A_z \cos\theta \\ A_\theta &= -A_z \sin\theta \\ A_\phi &= 0 \end{aligned} \quad (35)$$

# DIPOLO DE HERTZ O ELEMENTO DE CORRIENTE

Como

$$\vec{H} = \nabla \times \vec{A} \quad (36)$$

El rotor en coord. esféricas:

$$\vec{H} = \hat{\phi} \frac{1}{\mu r} \left[ \frac{\partial(rA_{\theta})}{\partial r} + \frac{\partial A_r}{\partial \theta} \right] \quad (37)$$

El campo magnético resulta:

$$\begin{aligned} H_{\phi} &= \frac{j\beta I_o \Delta L \sin\theta}{4\pi r} \left[ 1 + \frac{1}{4\pi r} \right] e^{-j\beta r} \\ H_r &= 0 \\ H_{\theta} &= 0 \end{aligned} \quad (38)$$

# DIPOLO DE HERTZ O ELEMENTO DE CORRIENTE

El campo eléctrico resulta:

$$E = \frac{\nabla \times \vec{H}}{j\omega\epsilon_0} \quad (39)$$

$$\begin{aligned} E_r &= \frac{Z_{00}I_0\Delta L\cos\theta}{2\pi r^2} \left[ 1 + \frac{1}{j\beta r} \right] e^{-j\beta r} \\ E_\theta &= \frac{jZ_{00}\beta I_0\Delta L\sin\theta}{4\pi r} \left[ 1 + \frac{1}{j\beta r} - \frac{1}{(\beta r)^2} \right] e^{-j\beta r} \\ E_\phi &= 0 \end{aligned} \quad (40)$$

donde la impedancia intrínseca de vacío es:

$$Z_{00} = 120 \cdot \pi \Omega \cong 377 \Omega$$

Cuando radía una antena interesa saber si se encuentra en campo lejano o cercano:

## **Campo lejano**

Es cuando se aumenta la distancia  $r$  a la cual se encuentra el dipolo, de manera que la variación de los campos se aproximan a  $1/r$ .

$$1 \gg \frac{1}{\beta r} \quad (41)$$

Por lo tanto:

$$\begin{aligned} E_{\theta} &= \frac{jZ_0\beta I_0\Delta L \sin\theta}{4\pi r} e^{-j\beta r} \\ H_{\phi} &= \frac{j\beta I_0\Delta L \sin\theta}{4\pi r} e^{-j\beta r} \\ E_r &= E_{\phi} = 0 \\ H_r &= H_{\theta} = 0 \end{aligned} \quad (42)$$

**Campo cercano**

Es cuando disminuye la distancia  $r$  al dipolo, de manera que:

$$\frac{1}{\beta r} \gg 1 \quad (43)$$

Por lo tanto:

$$\begin{aligned} E_r &= \frac{-jZ_{00}I_o\Delta L\cos\theta}{2\pi\beta r^3}e^{-j\beta r} \\ E_\theta &= \frac{-jZ_{00}I_o\Delta L\sin\theta}{4\pi\beta r^3}e^{-j\beta r} \\ H_\phi &= \frac{j\beta I_o\Delta L\sin\theta}{(4\pi r)^2}e^{-j\beta r} \\ E_\phi &= H_r = H_\theta = 0 \end{aligned} \quad (44)$$

Como existen dos componentes de campo eléctrico  $E_\theta$  y  $E_r$ , es posible definir dos impedancias de onda, de la onda electromagnética para el dipolo eléctrico ideal o dipolo de Herz, de la siguiente manera:

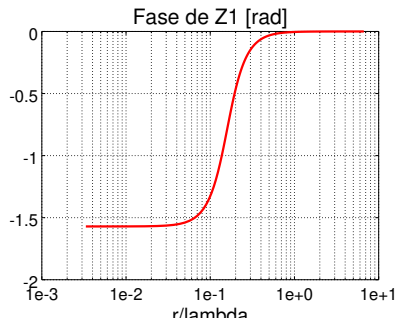
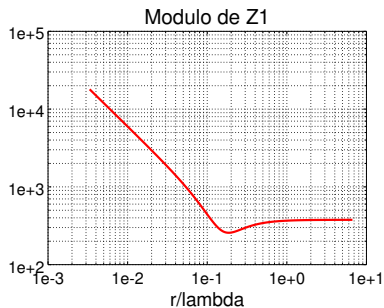
$$Z_1 = \frac{E_\theta}{H_\phi} = \frac{\left( \frac{j\omega\mu}{r} + \frac{Z_{00}}{r^2} + \frac{1}{j\omega\epsilon r^3} \right)}{\left( \frac{j\beta}{r} + \frac{1}{r^2} \right)} \quad (45)$$

$$Z_2 = \frac{E_r}{H_\phi} = \frac{\cos\theta}{\sin\theta} \frac{\left( \frac{Z_{00}}{r^2} + \frac{1}{j\omega\epsilon r^3} \right)}{\left( \frac{j\beta}{r} + \frac{1}{r^2} \right)} \quad (46)$$

## **Campo cercano**

La impedancia de onda muestra el comportamiento de los campos de acuerdo a la distancia a la fuente. Para el caso de que la distancia a la fuente sea mucho mayor a la longitud de onda  $r \gg \lambda$ , la zona corresponde a la zona de campo lejano, por lo tanto la impedancia de onda en módulo tiende a la impedancia del vacío o del aire seco  $|Z_1| \cong 377\Omega$ , con fase cero. Se puede observar el modulo y fase de la impedancia de onda  $Z_1$  en funcion de la distancia en veces de longitudes de onda  $r/\lambda$  en las Figuras 1.

# CAMPOS CERCANO. DIPOLO DE HERTZ



**FIGURA:** Módulo de la impedancia de onda  $Z_1$  en función de  $r/\lambda$  y Fase de la impedancia de onda  $Z_1$  en función de  $r/\lambda$ .



## Campo lejano

- Los campos  $E$  y  $H$  son mutuamente perpendiculares a la dirección de propagación
- La relación de  $E$  y  $H$  es  $377\Omega$  con un ángulo cero de fase.
- No hay una distancia única a la cual el campo lejano existe.
- Las funciones de los campos se pueden aproximar a  $1/r$ .

## Campo cercano

- Las ecuaciones que describen los campos E y H varían radialmente y angularmente con respecto a la fuente de RF.
- La relación de los campos E y H es diferente a  $377\Omega$ .
- Las ecuaciones de campo son funciones de  $1/r$ ,  $1/r^2$ , y  $1/r^3$ .
- Una pequeña variación de r causa que el término  $1/r^3$  se vuelva muy grande. De otra forma para grandes valores de r, el término  $1/r$  será dominante respecto a los demás.
- Las tres regiones pueden ser definidas como: Campo cercano y reactivo, el campo cercano radiante, y el campo lejano.

# CAMPOS CERCANO Y LEJANO. LAZO CORTO O DIPOLO MAGNÉTICO IDEAL

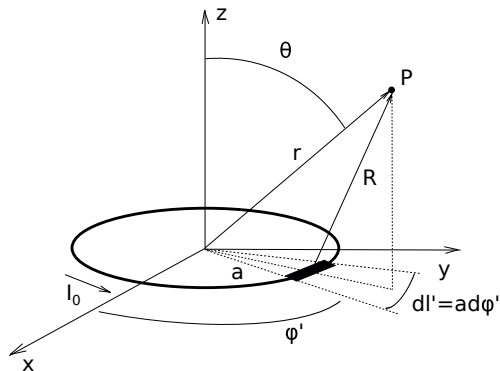


FIGURA: Antena lazo electricamente corto  $a \ll \lambda$ ,  $C = 2\pi a N \ll \lambda$

# CAMPOS CERCANO Y LEJANO. LAZO CORTO O DIPOLO MAGNÉTICO IDEAL

La corriente en el conductor será prácticamente constante

$$I(a, \theta, \phi) = I_0 \quad (47)$$

Los campos eléctrico y magnético del dipolo magnético se obtienen analogamente al caso del dipolo eléctrico ideal:

$$E_\phi = \frac{I_0 e^{-j\beta r} Z_{00} (\beta a)^2 \sin\theta}{4r} \left( 1 + \frac{1}{j\beta r} \right) \quad (48)$$

$$H_r = \frac{I_0 a^2 (j\beta) e^{-j\beta r} \cos\theta}{2r^2} \left( 1 + \frac{1}{j\beta r} \right) \quad (49)$$

$$H_\theta = \frac{I_0 (\beta a)^2 e^{-j\beta r} \sin\theta}{4r} \left( 1 + \frac{1}{j\beta r} - \frac{1}{(\beta r)^2} \right) \quad (50)$$

# CAMPOS CERCANO Y LEJANO. LAZO CORTO O DIPOLO MAGNÉTICO IDEAL

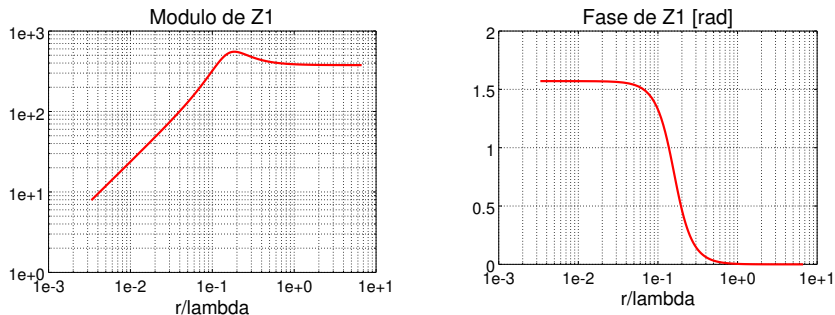
Analogamente al caso del dipolo eléctrico.

El lazo tiene dos componentes del campo magnético  $H_\theta$  y  $H_r$  y se puede definir la impedancia de onda de un lazo corto (dipolo magnetico ideal):

$$Z_1 = \frac{E_\phi}{H_\theta} = Z_{00} \frac{\left(1 + \frac{1}{j\beta r}\right)}{\left(1 + \frac{1}{j\beta r} - \frac{1}{(\beta r)^2}\right)} \quad (51)$$

$$Z_2 = \frac{E_\phi}{H_r} = \frac{Z_{00}}{2j} \frac{\sin\theta}{\cos\theta} \frac{\left(1 + \frac{1}{j\beta r}\right)}{\left(\frac{1}{\beta r} + \frac{1}{j(\beta r)^2}\right)} \quad (52)$$

# CAMPOS CERCANO Y LEJANO. LAZO CORTO O DIPOLO MAGNÉTICO IDEAL



**FIGURA:** Módulo de la impedancia de onda  $Z_1$  de un dipolo magnético ideal en función de  $r/\lambda$  y Fase de la impedancia de onda  $Z_1$  de un dipolo magnético ideal en función de  $r/\lambda$

# CAMPOS CERCANO Y LEJANO. DIPOLO ELÉCTRICO Y MAGNÉTICO IDEAL

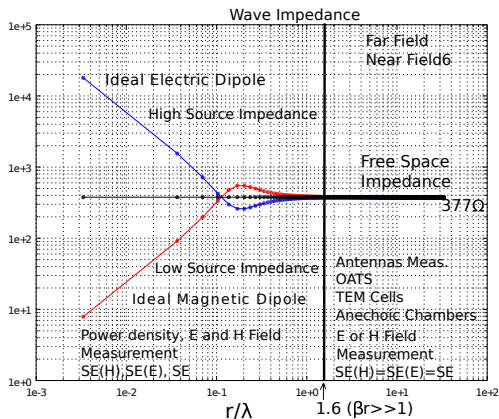


FIGURA:  $|Z_1|$  en función de  $r/\lambda$

# CAMPOS CERCANO Y LEJANO. DIPOLO ELÉCTRICO Y MAGNÉTICO IDEAL

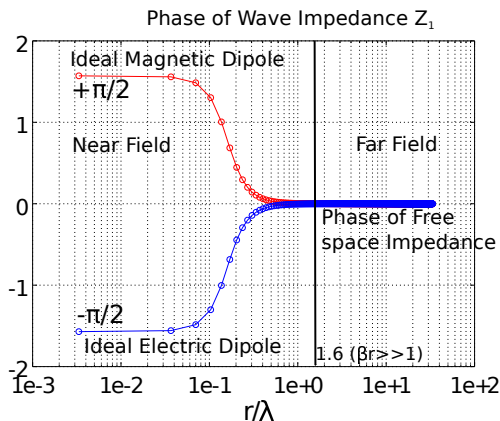


FIGURA: Fase de  $Z_1$  en función de  $r/\lambda$



# CAMPOS CERCANO Y LEJANO. DIPOLO ELÉCTRICO Y MAGNÉTICO IDEAL

- $Z_1$  en función de  $r/\lambda$ , para el caso del dipolo eléctrico elemental y dipolo magnético elemental.
- El dipolo eléctrico es una fuente de alta impedancia y en el dipolo magnético es una fuente de baja impedancia.
- Cuando se miden los campos en la zona de campo cercano se muestra que hay que medir los campos  $E$ ,  $H$  y la densidad de potencia  $P$ .
- Las curvas de impedancia son figuras simétricas, que a medida que aumenta la distancia y supera  $r/\lambda = 1,6$  la impedancia de ambos dipolos tienden a la impedancia de vacío  $Z_0 = 377\Omega$ .

# CAMPOS CERCANO Y LEJANO. DIPOLO ELÉCTRICO Y MAGNÉTICO IDEAL

En la zona de campo lejano, los campos Eléctrico y magnético están relacionados, mediante la impedancia intrínseca de vacío, es decir:

$$Z_{00} = \frac{E}{H} \cong 120\pi\Omega \cong 377\Omega \quad (53)$$

La densidad de potencia tambien se puede obtener a partir de:

$$P = \frac{E^2}{Z_{00}} \quad (54)$$

Por lo tanto se puede medir solo un parámetro y obtener los otros tres.

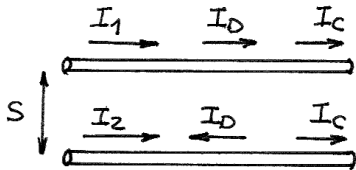
# CAMPOS CERCANO Y LEJANO. DIPOLO ELÉCTRICO Y MAGNÉTICO IDEAL

- La fase de la impedancia de onda  $Z_1$ , a partir de que la distancia  $r/\lambda = 1,6$  se hace nula.
- La impedancia de onda tanto para el dipolo eléctrico elemental y para el dipolo magnético elemental, deja de ser un número complejo y se transforma en un número real.
- La impedancia real significa que la densidad de potencia será real(activa) o radiante para la zona de campo lejano
- En la zona donde se deberán medir las propiedades de las antenas como el diagrama de radiación y la ganancia.

# CORRIENTES DE MODO COMÚN Y MODO DIFERENCIAL

- Habitualmente en el estudio de electrónica, las corrientes en los conductores se pueden separar en corrientes de modo común y en modo diferencial.
- Esto sirve para separar las señales
- Señales útiles (modo diferencial)
- Señales interferentes o ruidos electromagnéticos (modo común).

## Corrientes de modo común y modo diferencial



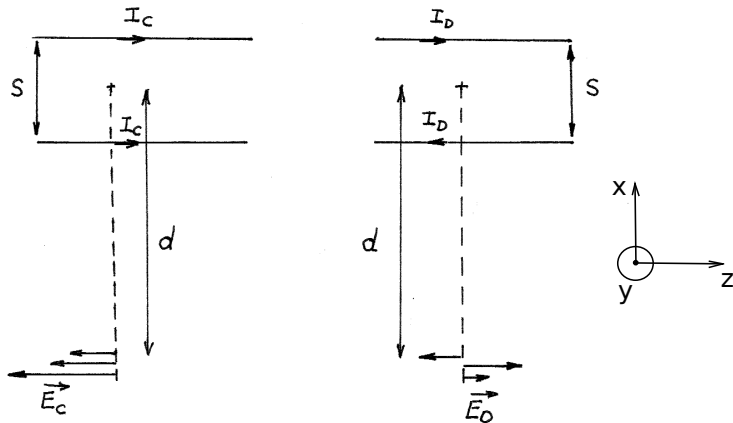
$$\begin{aligned} I_1 &= I_C + I_D \\ I_2 &= I_C - I_D \end{aligned} \quad (55)$$

Se obtiene:

$$\begin{aligned} I_C &= \frac{I_1 + I_2}{2} \\ I_D &= \frac{I_1 - I_2}{2} \end{aligned} \quad (56)$$

# MODELO DE EMISIÓN SIMPLE

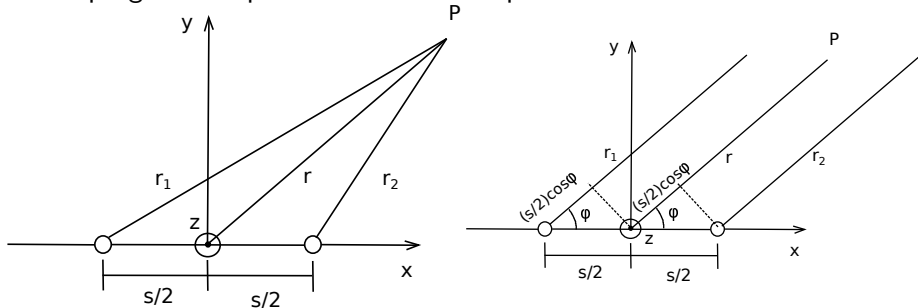
## Corrientes de modo común y modo diferencial



Campo radiado en modo común y en modo diferencial.

# MODELO DE EMISIÓN SIMPLE

Campo generado por dos fuentes a un punto P



Si las dos fuentes son dipolos de Hertz con  $\Delta L = \Delta L_1 = \Delta L_2$ ,  
para  $\theta = \pi/2$ :

$$\vec{E} = \frac{jZ_{00}\beta I_{01}e^{j\alpha_1}\Delta L\sin\theta}{4\pi r_1}e^{-j\beta r_1}\hat{z} + \frac{jZ_{00}\beta I_{02}e^{j\alpha_2}\Delta L\sin\theta}{4\pi r_2}e^{-j\beta r_2}\hat{z} \quad (57)$$

# MODELO DE EMISIÓN SIMPLE

Campo generado por dos fuentes

$$E = jZ_{00}\beta I_0 \Delta L \sin\theta \left[ \frac{e^{j\alpha_1 - j\beta r_1}}{4\pi r_1} + \frac{e^{j\alpha_2 - j\beta r_2}}{4\pi r_2} \right] \quad (58)$$

Considerando:

Para el módulo:  $r_1 = r_2 = r$

Para la fase:  $r_2 = r - \frac{s}{2} \cos\phi$  y  $r_1 = r + \frac{s}{2} \cos\phi$

Tomando:  $\alpha_2 = 0$  y  $\alpha_1 = \alpha$

$$E = \frac{jZ_{00}\beta I_0 \Delta L \sin\theta}{4\pi r} \left[ e^{j\alpha - j\beta r_1} + e^{-j\beta r_2} \right] \quad (59)$$

$$E = \frac{jZ_{00}\beta I_0 \Delta L \sin\theta e^{j\alpha/2}}{4\pi r} \left[ e^{j\alpha/2 - j\beta r_1} + e^{-j\alpha/2 - j\beta r_2} \right] \quad (60)$$



# MODELO DE EMISIÓN SIMPLE

Campo generado por dos fuentes

$$E = \frac{jZ_{00}\beta I_0 \Delta L \sin\theta e^{j\alpha/2}}{4\pi r} \left[ e^{j\alpha/2 - j\beta r_1} + e^{-j\alpha/2 - j\beta r_2} \right] \quad (61)$$

$$r_2 = r - \frac{s}{2} \cos\phi \text{ y } r_1 = r + \frac{s}{2} \cos\phi$$

$$E = \frac{jZ_{00}\beta I_0 \Delta L \sin\theta e^{j\alpha/2} e^{-j\beta r}}{4\pi r} \left[ e^{j\frac{\alpha}{2} - j\beta\frac{s}{2}\cos\phi} + e^{-j\frac{\alpha}{2} + j\beta\frac{s}{2}\cos\phi} \right] \quad (62)$$

Resulta:

$$E = \frac{jZ_{00}\beta I_0 \Delta L \sin\theta e^{j\alpha/2} e^{-j\beta r}}{4\pi r} 2\cos\left(\frac{\alpha}{2} + \beta\frac{s}{2}\cos\phi\right) \quad (63)$$

Reemplazando  $\beta = \frac{2\pi}{\lambda}$ :

$$E = \frac{jZ_{00}\beta I_0 \Delta L \sin\theta e^{j\alpha/2} e^{-j\beta r}}{4\pi r} 2\cos\left(\frac{\alpha}{2} + \frac{\pi s}{\lambda}\cos\phi\right) \quad (64)$$

# MODELO DE EMISIÓN SIMPLE

$$E = \frac{jZ_{00}\beta I_0 \Delta L \text{sen}\theta e^{j\alpha/2} e^{-j\beta r}}{4\pi r} 2\cos\left(\frac{\alpha}{2} + \frac{\pi s}{\lambda} \cos\phi\right) \quad (65)$$

donde el factor del conjunto (AF) y el factor del elemento  $f(\theta)$  son:

$$\begin{aligned} AF(\phi) &= \cos\left(\frac{\alpha}{2} + \frac{\pi s}{\lambda} \cos\phi\right) \\ f(\theta) &= \text{sen}\theta \end{aligned} \quad (66)$$

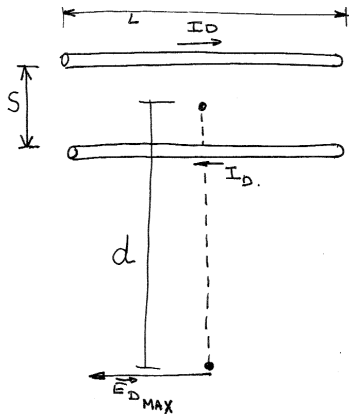
Por lo tanto:

$$\boxed{E = \text{cte} \cdot f(\theta) AF(\phi)} \quad (67)$$

$$\text{donde } \text{cte} = 2 \frac{jZ_{00}\beta I_0 \Delta L e^{j\alpha/2} e^{-j\beta r}}{4\pi r}$$

# MODELO DE EMISIÓN SIMPLE

## Emisión de modo diferencial



$$E = \frac{jZ_{00}\beta I_0 \Delta L \sin\theta e^{j\alpha/2} e^{-j\beta r}}{4\pi r} \cdot 2\cos\left(\frac{\alpha}{2} + \frac{\pi s}{\lambda} \cos\phi\right) \quad (68)$$

Tomando el modulo y considerando:  $\beta = \frac{2\pi}{\lambda}$ ,  $\lambda = \frac{c}{f}$ ,  $Z_{00} = 120\pi\Omega$ ,  $\alpha = \pi$ ,  $\theta = \pi/2$ ,  $r = d$  y  $\phi = 0$

$$|E| = \frac{1,25610^{-6} f I_0 \Delta L}{d} \cdot \sin\left(\frac{\pi s}{\lambda}\right) [V/m] \quad (69)$$

## Emisión de modo diferencial

Considerando  $\sin\left(\frac{\pi s}{\lambda}\right) \cong \frac{\pi s}{\lambda}$

$$|E| \cong \frac{1,256 \cdot 10^{-6} f l_0 \Delta L}{d} \cdot \left(\frac{\pi s}{\lambda}\right) [V/m] \quad (70)$$

Resulta:

$$|E| \cong \frac{1,31 \cdot 10^{-14} f^2 l_0 \Delta L s}{d} [V/m] \quad (71)$$

Por lo tanto para el campo máximo  $E_{max}$  se obtiene la corriente máxima  $I_{0MAX}$ :

$$I_{0MAX} \cong \frac{|E_{Max}| d}{1,31 \cdot 10^{-14} f^2 \Delta L s} [A] \quad (72)$$

## Emisiones radiadas según CISPR 22

### 6 Limits for radiated disturbance

#### 6.1 Limits below 1 GHz

The EUT shall meet the limits of Table 5 or Table 6 when measured at the measuring distance  $R$  in accordance with the methods described in Clause 10. If the reading on the measuring receiver shows fluctuations close to the limit, the reading shall be observed for at least 15 s at each measurement frequency; the highest reading shall be recorded, with the exception of any brief isolated high reading, which shall be ignored.

**Table 5 – Limits for radiated disturbance of class A ITE  
at a measuring distance of 10 m**

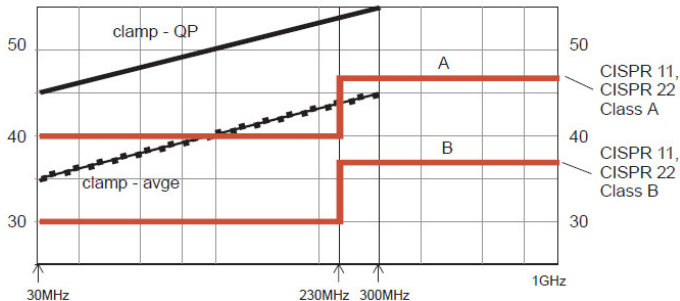
Frequency range MHz	Quasi-peak limits dB( $\mu$ V/m)
30 to 230	40
230 to 1 000	47
NOTE 1 The lower limit shall apply at the transition frequency. NOTE 2 Additional provisions may be required for cases where interference occurs.	

**Table 6 – Limits for radiated disturbance of class B ITE  
at a measuring distance of 10 m**

Frequency range MHz	Quasi-peak limits dB( $\mu$ V/m)
30 to 230	30
230 to 1 000	37
NOTE 1 The lower limit shall apply at the transition frequency. NOTE 2 Additional provisions may be required for cases where interference occurs.	

## Emisiones radiadas según CISPR 22

$\text{dB}\mu\text{V/m}$ , normalised (1/d)  
to a measuring  
distance of 10m

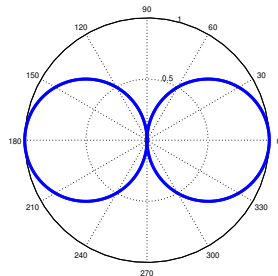
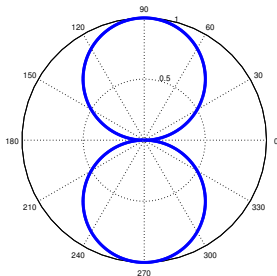


**Ejemplo de Emisión de modo diferencial** La norma CISPR 22 establece que para frecuencias de  $30\text{MHz}$  a  $230\text{MHz}$  el campo máximo es de  $E_{\text{max}} = 40\text{dB}/\mu\text{V}/\text{m}$  ( $E = 100\mu\text{V}/\text{m}$ ), a  $d = 10\text{m}$ . Considerando dos cables de longitud  $\Delta L = 1\text{m}$ , separados a  $s = 1,3\text{mm}$

$$I_{0\text{MAX}} \cong \frac{100\mu\text{V}/\text{m} \cdot 10\text{m}}{1,31 \cdot 10^{-14} \frac{\Omega}{\text{Hz}^2 \cdot \text{m}^2} (30 \cdot 10^6 \text{Hz})^2 \cdot 1\text{m} \cdot 1,3 \cdot 10^{-3}\text{m}} [\text{A}] \quad (73)$$

$$I_{0\text{MAX}} \cong 65\mu\text{A} \quad (74)$$

## Ejemplo de Emisión de modo diferencial



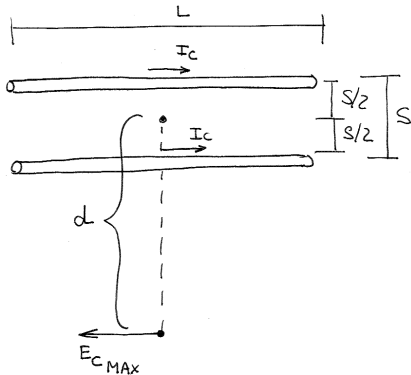
La función del campo eléctrico normalizada:

$$f_{MD}(\theta, \phi) = \frac{|E|}{|E_{Max}|} = \sin\theta \sin\left(\frac{\pi s}{\lambda} \cos\phi\right) \quad (75)$$

Se grafica en los planos XZ y XY, para la frecuencia y la separación de conductores:  $f = 200MHz$  y  $s = 10mm$ .



## Ejemplo de Emisión de modo común



En Modo Común

$$I_1 = I_2 = I_c$$

Por lo tanto  $\alpha = 0$

$$E = \frac{jZ_{00}\beta I_0 \Delta L \sin\theta e^{j\alpha/2} e^{-j\beta r}}{4\pi r} \cdot 2\cos\left(\frac{\alpha}{2} + \frac{\pi S}{\lambda} \cos\phi\right) \quad (76)$$

Resulta:

$$E = \frac{jZ_{00}\beta I_0 \Delta L \sin\theta e^{-j\beta r}}{4\pi r} \cdot 2\cos\left(\frac{\pi S}{\lambda} \cos\phi\right) \quad (77)$$

## Ejemplo de Emisión de modo comun

Tomando el modulo y considerando:  $\beta = \frac{2\pi}{\lambda}$ ,  $\lambda = \frac{c}{f}$ ,  $Z_{00} = 120\pi\Omega$ ,  $\alpha = 0$ ,  $\theta = \pi/2$ ,  $r = d$

$$|E| = \frac{Z_{00}\beta I_0 \Delta L \sin\theta}{4\pi r} \cdot 2\cos\left(\frac{\pi s}{\lambda} \cos\phi\right) \quad (78)$$

Para antenas electricamente cortas:  $\cos\left(\frac{\pi s}{\lambda} \cos\phi\right) \rightarrow 1$

$$|E| = 1,256 \cdot 10^{-6} \frac{f \Delta L I_0}{d} [V/m] \quad (79)$$

Por lo tanto para un determinado campo máximo, se puede obtener una corriente máxima

$$I_{MAX} = \frac{|E_{MAX}| d}{1,256 \cdot 10^{-6} \Delta L f} \quad (80)$$

## Ejemplo de Emisión de modo común Ejemplo: Para

$f=30\text{MHz}$ , la norma CISPR22 dice:  $E_{MAX} = 40\text{dB}\mu\text{V}/\text{m}$  a una distancia de  $d = 10\text{m}$  considerando un cable de longitud  $\Delta L = 1\text{m}$   
Por lo tanto para un determinado campo máximo, se puede obtener una corriente máxima

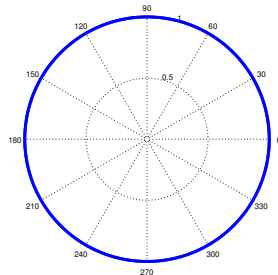
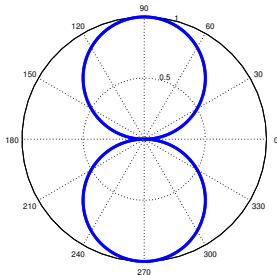
$$I_{MAX} = \frac{|E_{MAX}| d}{1,256 \cdot 10^{-6} \Delta L f} \quad (81)$$

$$I_{MAX} = \frac{100 \cdot 10^{-6} 10}{1,256 \cdot 10^{-6} \cdot 1 \cdot 30 \cdot 10^6} [\text{A}] \quad (82)$$

Resulta:

$$I_{MAX} = 26,5 \cdot 10^{-6} \text{A} = 26,5 \mu\text{A} \quad (83)$$

## Ejemplo de Emisión de modo común



Campo eléctrico normalizado producido por las corrientes de modo común (MC):

$$f_{MC}(\theta, \phi) = \frac{|E|}{|E_{Max}|} = \text{sen}\theta \cos\left(\frac{\pi s}{\lambda} \cos\phi\right) \quad (84)$$

Se grafica en los planos XZ y XY, para la frecuencia y la separación de conductores:  $f = 200\text{MHz}$  y  $s = 10\text{mm}$ .

## Corrientes de modo común y modo diferencial

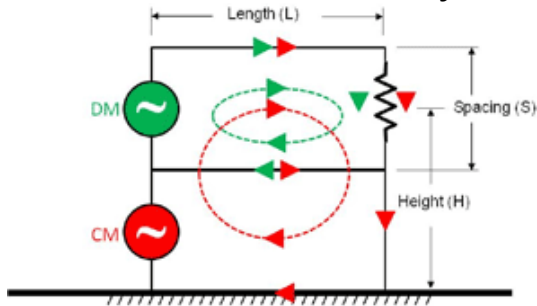


Figure 1 – Common and Differential Mode

Ref: Ron Brewer. What is Differential and Common Mode Current?.

Interference Tecnology, August 2, 2012

- [1] Clayton Paul. Introduction to Electromagnetic Compatibility. 2nd Edition. Wiley. 2006.
- [2] Ron Brewer. What is Differential and Common Mode Current?. Interference Tecnology. August 2, 2012
- [3] V. Trainoti y W.G. Fano. Ingeniería Electromagnetica Vol II. Editorial Nueva Libreria. 2007
- [4] Henry Ott. Electromagnetic Compatibility. Wiley. 2008
- [5] Antenna Theory. Balanis. Wiley 2007